

©1994 г.

**ОПТИЧЕСКИЕ И ЭЛЕКТРИЧЕСКИЕ СВОЙСТВА  
СЛОЕВ  $a\text{-Si}_{1-x}\text{C}_x\text{:H}$ , ПЕРСПЕКТИВНЫХ  
ДЛЯ ЭЛЕКТРОФОТОГРАФИЧЕСКИХ ПРИМЕНЕНИЙ**

*В.Х.Кудоярова, Е.И.Теруков, И.Н.Трапезникова, Г.Н.Виолина,  
Н.В.Елькина, Р.А.Каваляускас*

Физико-технический институт им. А.Ф. Иоффе Российской академии наук,  
194021, Санкт-Петербург, Россия  
(Получена 24 ноября 1993 г. Принята к печати 7 декабря 1993 г.)

Проведено комплексное исследование оптических, структурных и электрических свойств слоев аморфного гидрогенизированного карбida кремния  $a\text{-Si}_{1-x}\text{C}_x\text{:H}$  в диапазоне составов, соответствующих  $0 < x < 0.5$ , приготовленного из смесей  $\text{CH}_4 + \text{SiH}_4 + \text{Ar}/\text{H}_2$  в плазме высокочастотного тлеющего разряда. Исследование этих твердых растворов проводится с целью их использования в электрофотографии. Показано, что аморфный гидрогенизированный карбид кремния может быть использован в многослойных электрофотографических слоях в качестве блокирующего слоя (что дает возможность осуществить близарядный режим записи информации), пассивирующего слоя (что позволяет улучшить процесс накопления заряда на поверхности), слоя переноса заряда. В работе оптимизированы режимы получения  $a\text{-Si}_{1-x}\text{C}_x\text{:H}$  для каждого из слоев, а также осуществлена приборная (практическая) реализация полученных результатов, т. е. получены электрофотографические оттиски.

## 1. Введение

Наряду с использованием селена и сплавов на его основе в качестве носителя информации (фотоприемника) в последнее время ведутся интенсивные исследования по созданию электрофотографических слоев (ЭФС) на основе  $a\text{-Si:H}$ . Такие ЭФС, нанесенные на алюминиевые цилиндры копировальных устройств, обладают целым рядом преимуществ: большой срок службы, возможность получения высокой фоточувствительности во всей видимой области спектра и даже в инфракрасном (ИК) диапазоне, высокая температурная стабильность, дающая возможность реализовать высокие скорости при работе и компактную конструкцию копировального устройства [1]. Перечисленные достоинства делают перспективными исследования аморфных тетраэдрических сплавов на основе  $a\text{-Si:H}$  для фотоприемников, применяемых в дешевых малогабаритных высокоскоростных копировальных устройствах. Вместе с тем при их создании возникает ряд проблем.

Известно, что для формирования скрытого изображения по методу Карлсона (C.F. Carlson) [2] необходим потенциал поверхности заряда  $U_c = 300\text{--}900$  В. При этом общая продолжительность процессов, а именно процесса накопления заряда на поверхности изолирующего фотопроводника и процесса фотозатухания поверхности заряда при оптическом воздействии, составляет несколько секунд. Для этого толщина фотоприемника должна быть не менее 10 мкм, а удельное сопротивление порядка  $10^{13}$  Ом·см. Поэтому для применения  $a\text{-Si:H}$  в качестве ЭФС должны быть разработаны методы быстрого осаждения (5–8 мкм/ч) и методы увеличения удельного сопротивления слоев  $a\text{-Si:H}$  по крайней мере на 2–3 порядка (обычно удельное сопротивление  $a\text{-Si:H}$  составляет  $\sim 10^{10}$  Ом·см). Получение такого материала представляет собой нетривиальную задачу, поскольку увеличение удельного сопротивления, как правило, влечет за собой падение величины фотопроводимости.

Наиболее распространенным методом получения  $a\text{-Si:H}$  является в настоящее время метод высокочастотного разложения силановых смесей ( $\text{SiH}_4 + \text{Ar} + \text{H}_2$ ). Используются два способа получения высокоомных пленок на основе  $a\text{-Si:H}$ . В одном из них  $a\text{-Si:H}$  с удельным сопротивлением, большим  $10^{10}$  Ом·см, получают, легируя бором и кислородом [3]. В другом — высокоомность достигается увеличением содержания дигидридных групп ( $\text{SiH}_2$ )<sub>n</sub> в пленках за счет понижения температуры подложки  $T_s$  и увеличения удельной мощности высокочастотного разряда [4]. Высокие скорости осаждения (5–8 мкм/ч) осуществляются при использовании силановой смеси, разбавленной водородом [5]. Однако реализовать большую часть требований к ЭФС в рамках однослойной структуры оказывается затруднительным [6].

В настоящее время разрабатывается и другой подход, заключающийся в создании многослойных структур на основе  $a\text{-Si:H}$ , состоящих из поверхностного пассивирующего слоя (ПС), слоя генерации заряда (СГЗ), слоя переноса заряда (СПЗ) и базового блокирующего слоя (БС) [7–11]. Каждый слой выполняет предназначенную ему функцию, при этом возможны различные варианты сочетания таких тетраэдрических аморфных полупроводников, как  $a\text{-Si:H}$ ,  $a\text{-Si}_{1-x}\text{C}_x\text{:H}$ ,  $a\text{-Si}_{1-x}\text{N}_x\text{:H}$  и  $a\text{-Si}_{1-x}\text{Ge}_x\text{:H}$ . Выбор вариантов сочетания аморфных тетраэдрических слоев в структуре ЭФС определяется технической реализацией процесса записи информации: спектральным диапазоном источника света, моно- или биполярным напряжением заряда поверхности ( $U_c$ ).

При этом ПС должен обладать несколькими основными характеристиками: высокой твердостью в сочетании с антифрикционными свойствами, высокой прозрачностью в спектральной области чувствительности фотоприемника, высоким удельным сопротивлением ( $\rho > 10^{13}$  Ом·см) для исключения стекания нанесенного поверхности заряда. Материал для СПЗ должен иметь высокую подвижность носителей заряда (отношение фотопроводимости к темновой проводимости должно составлять  $\sigma_{ph}/\sigma_d = 10^4 \div 10^5$ ). БС должен препятствовать инжекции носителей заряда в СПЗ из алюминиевой подложки (цилиндра).

Привлекательность использования  $a\text{-Si}_{1-x}\text{C}_x\text{:H}$  в качестве ЭФС в электрофотографии заключается в возможности получения составов,

обладающих широким набором электрофизических свойств, из которых могут быть выбраны оптимальные составы для ПС, СПЗ и БС. Одним из способов изменения состава пленок  $a\text{-Si}_{1-x}\text{C}_x\text{:H}$  является использование различных смесей газов (силана с метаном, этиленом и т.д.), варьирование их соотношения и использование различных газов-разбавителей. Однако каждая конкретная реализация необходимых свойств для ПС, СПЗ и БС требует оптимизации составов слоев и условий их получения.

В представленной работе проведено исследование влияния состава газовых смесей и температуры подложки  $T_s$  (при прочих равных условиях) на электрофизические свойства пленок  $a\text{-Si}_{1-x}\text{C}_x\text{:H}$ . Были использованы две смеси,  $(\text{SiH}_4 + \text{CH}_4 + \text{Ar} + \text{H}_2)$  и  $(\text{SiH}_4 + \text{CH}_4 + \text{Ar})$ , при этом температура подложки составляла 230 и 250 °C соответственно. Показано, что разбавление смеси водородом («бедная» смесь) позволяет получить изменение электрофизических свойств слоев  $a\text{-Si}_{1-x}\text{C}_x\text{:H}$  преимущественно за счет встраивания углерода в сетку  $a\text{-Si:H}$ . Используя такую смесь, удается получить составы ( $x < 0.2$ ), обладающие хорошими оптоэлектронными характеристиками ( $\sigma_{ph}/\sigma_d = 10^4$ ) и высокой темновой электропроводностью ( $\sigma_d \approx 10^{-12} \text{ Ом}^{-1} \cdot \text{см}^{-1}$ ), удовлетворяющие требованиям для СПЗ. Неразбавленная водородом смесь («богатая» смесь) позволяет получить высокоомные слои с  $\sigma_d < 10^{-13} \text{ Ом}^{-1} \cdot \text{см}^{-1}$  в основном за счет увеличения концентрации водорода, который входит в пленки  $a\text{-Si}_{1-x}\text{C}_x\text{:H}$  через метиловые группы ( $\text{Si}-\text{CH}_3$ ). Используя богатую смесь, можно получить составы ( $x \leq 0.4$ ), удовлетворяющие требованиям для ПС и БС.

Кроме того, нами получены и исследованы ЭФС, где высокоомный  $a\text{-Si}_{1-x}\text{C}_x\text{:H}$  ( $x \leq 0.4$ ) используется в качестве ПС и БС, а менее высокоомный  $a\text{-Si}_{1-x}\text{C}_x\text{:H}$  ( $x < 0.2$ ) — в качестве СПЗ. Многослойные ЭФС наносились как на алюминиевые плоские подложки площадью 25 см<sup>2</sup> (текстовые структуры), так и на алюминиевый цилиндр копировального устройства. В работе приводятся некоторые параметры полученных ЭФС: максимальный потенциал зарядки  $U_c$ , поле зарядки  $E = U_c/d$  ( $d$  — толщина транспортного слоя), время полуспада потенциала в темноте  $t_{1/2}^d$  и при освещении  $t_{1/2}^{ph}$ , интегральная фоточувствительность по полуспаду потенциала  $S_{1/2}$  [12]. На многослойных тестовых ЭФС, выращенных на алюминиевых подложках, а также ЭФС, напыленных на алюминиевый цилиндр копировального устройства, были получены образцы печати.

## 2. Экспериментальные методики

Концентрация углерода  $x$  в пленках  $a\text{-Si}_{1-x}\text{C}_x\text{:H}$  определялась с помощью оже-спектроскопии и метода рентгеновского спектрального анализа. ИК спектроскопия позволила определить характер химической связи атомов, входящих в состав пленок  $a\text{-Si}_{1-x}\text{C}_x\text{:H}$ . ИК спектры снимались при комнатной температуре на двухлучевом спектрометре UR-20, при этом в измерительный канал помещалась пленка  $a\text{-Si}_{1-x}\text{C}_x\text{:H}$  на подложке из кристаллического высокоомного кремния  $p$ -типа проводимости, а в канал сравнения — подложка. Для основных

наблюдаемых полос поглощения рассчитывалось интегральное поглощение  $I = \int [\alpha(\nu)/\nu] d\nu$ , где  $\alpha$  — коэффициент поглощения,  $\nu$  — волновое число. Там, где наблюдалась полоса поглощения представляла суперпозицию нескольких полос, производилось ее разложение на составляющие. При этом предполагалось, что составляющие полосы имеют гауссову форму. Концентрация связей ( $\equiv Si-H$ ,  $\equiv Si-CH_3$ ,  $\equiv C-H$ ) определялась путем умножения интегрального поглощения  $I$  на силу осциллятора  $A_{w,s}$  соответствующего колебания:  $N = A_{w,s} \cdot I$ . Силы осцилляторов, как правило, определяются из независимых измерений и составляют следующие величины: для мод вращательных колебаний связей  $Si-H$  и  $Si-CH_3$   $A_w = 1.6 \cdot 10^{19} \text{ см}^{-2}$  [13] и  $A_w = 5 \cdot 10^{19} \text{ см}^{-2}$  [14], для мод колебаний растяжения связей  $Si-H$  и  $C-H$   $A_s = 1.5 \cdot 10^{20} \text{ см}^{-2}$  [15] и  $A_s = 1.7 \cdot 10^{21} \text{ см}^{-2}$  [16] соответственно.

Край оптического поглощения  $\alpha(\hbar\omega)$  исследовался на дувлучевом спектрометре фирмы «Hitachi». В измерительный канал помещалась исследуемая пленка на кварцевой подложке, а в канал сравнения — кварцевая подложка. Оптическая ширина запрещенной зоны  $E_g^{\text{опт}}$  определялась экстраполяцией экспериментальной кривой до пересечения с осью абсцисс в соответствии с зависимостью  $(\alpha\hbar\omega)^{1/2} = B(\hbar\omega - E_g^{\text{опт}})$ . Исследовались темновая проводимость и интегральная по спектральному диапазону фотопроводимость при комнатной температуре. Облучение производилось ртутной лампой через фильтр СЗС-23, при этом интенсивность облучения составляла  $10^{16} - 10^{17} \text{ кв./см}^2$ .

Спектры фотолюминесценции снимались при возбуждении аргоновым лазером с  $\hbar\omega = 2.54 \text{ эВ}$ . Измерения проводились на монохроматоре МДР-2, регистрация сигнала осуществлялась с помощью фотомножителя ФЭУ-62.

Концентрационные профили распределения и общее количество водорода в пленках  $a-Si_{1-x}C_x:H$  исследовались путем наблюдения спектров протонов отдачи при облучении пленок ускоренными ионами азота  $N^{3+}$  с энергией  $10.5 \text{ МэВ}$  [17].

Для характеристики ЭФС измерялись следующие параметры: максимальный потенциал зарядки  $U_c$ , поле зарядки  $E = U_c/d$  ( $d$  — толщина транспортного слоя), время полуспада потенциала в темноте  $t_{1/2}^d$  и при освещении ( $\lambda = 0.78 \text{ мкм}$ )  $t_{1/2}^{ph}$ , интегральная фоточувствительность по полуспаду потенциала  $S_{1/2}$ . Подробное описание методик измерения этих параметров приводится в [12].

### 3. Экспериментальные результаты

Исследование содержания углерода в твердой фазе  $x$  в зависимости от состава газовой смеси  $y = [CH_4]/[CH_4 + SiH_4]$  показало, что для бедной смеси характерна слабая линейная зависимость  $x$  от  $y$  вплоть до  $y = 0.8$  и более резкая при  $y > 0.8-1.0$  (рис. 1). По мере увеличения  $x$  происходят изменения в характере химического связывания атомов, входящих в состав пленок  $a-Si_{1-x}C_x:H$ , которые проявляются в ИК спектрах (рис. 2). В них наблюдаются 4 основные полосы поглощения, связанные с различными модами колебаний: 1 — мода качания связи

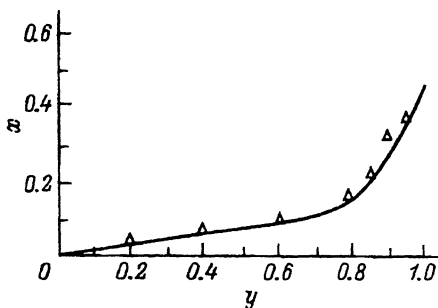


Рис. 1. Содержание углерода  $x$  в пленках  $a\text{-Si}_{1-x}\text{C}_x\text{:H}$  в зависимости от состава газовой смеси  $y = [\text{CH}_4]/[\text{CH}_4 + \text{SiH}_4]$ .

$\text{Si-H}$  ( $630 \text{ cm}^{-1}$ ), 2 — мода растяжения связи  $\text{Si-C}$  ( $670 \text{ cm}^{-1}$ ), 3 — мода качания связи  $\text{Si-CH}_3$  ( $780 \text{ cm}^{-1}$ ) и 4 — мода растяжения связи  $\text{Si-H}$  ( $2000\text{--}2100 \text{ cm}^{-1}$ ) [18]. Интегральное поглощение каждой полосы зависит от состава пленки, т.е.  $x$ . Из рис. 2 следует, что с увеличением  $x$  интенсивность полосы 1 уменьшается, в то время как интенсивности полос 2 и 3 растут. Характерной особенностью ИК спектров образцов, полученных на основе бедной смеси, является полное отсутствие или слабая интенсивность полосы поглощения при  $2800\text{--}3000 \text{ cm}^{-1}$ , которая приписывается моде растяжения связи  $\text{C-H}$  [18]. Волновое число  $\nu_{\max}$ , соответствующее положению максимума полосы 4, изменяется от 2000 до  $2095 \text{ cm}^{-1}$  (рис. 2, вставка). Известно [15], что наличие расположенных по соседству с атомом Si атомов C, обладающих сильной электроотрицательностью, может привести к сдвигу максимума полосы поглощения 4 в область больших волновых чисел. Расчет степени влияния соседних атомов углерода на частоту колебаний  $\text{Si-H}$  и  $\text{Si-H}_2$ , связанных с одним, двумя и тремя атомами углерода, приведен в ра-

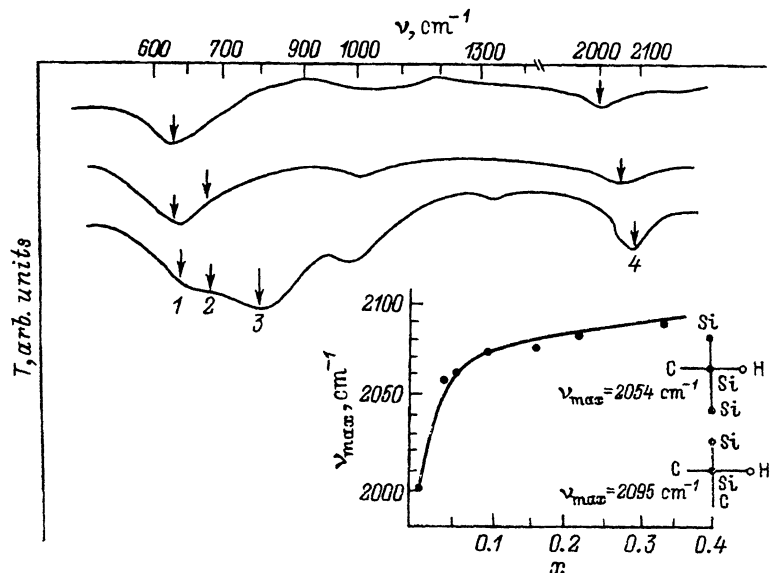


Рис. 2. ИК спектры пропускания  $T$  образцов  $a\text{-Si}_{1-x}\text{C}_x\text{:H}$  с  $x = 0, 0.16, 0.32$  (сверху вниз).

На вставке — сдвиг полосы поглощения 4, связанной с модой растяжения связи  $\text{Si-H}$  в зависимости от содержания углерода.

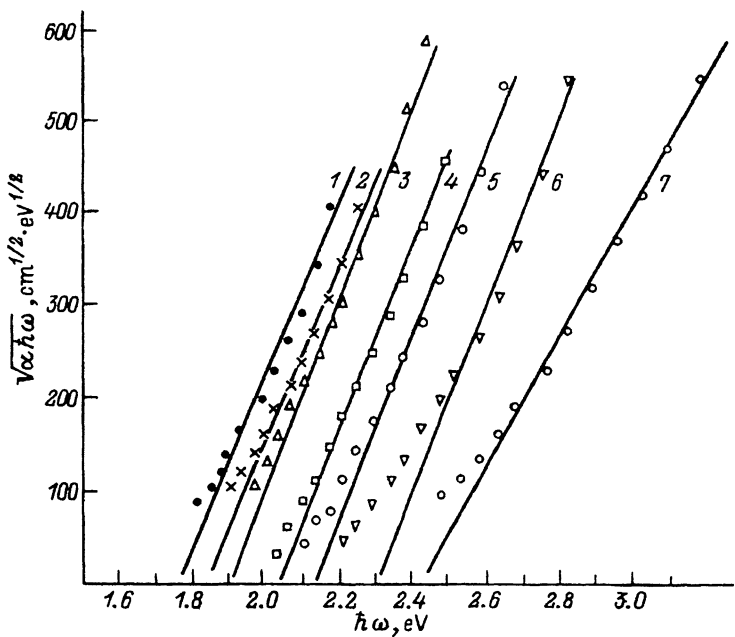


Рис. 3. Зависимости  $(\alpha \hbar \omega)^{1/2} = f(\hbar \omega)$  для пленок  $a\text{-Si}_{1-x}\text{C}_x\text{:H}$  с различным содержанием углерода  $x$ : 1 — 0, 2 — 0.044, 3 — 0.088, 4 — 0.156, 5 — 0.21, 6 — 0.325, 7 — 0.34.

боте [19]. Сопоставляя наблюдаемый нами сдвиг полосы поглощения  $2000\text{ cm}^{-1}$  с расчетами, проведенными в [19], можно сделать вывод о том, как встраивается углерод, замещая атомы Si. В условиях бедной смеси при увеличении  $x$  наблюдается постепенный переход от колебаний моды растяжения ( $\equiv\text{Si}-\text{H}$ ), где атом Si связан с одним атомом углерода ( $2054\text{ cm}^{-1}$ ), к колебаниям моды растяжения ( $\equiv\text{Si}-\text{H}$ ), где атом Si связан с двумя атомами углерода ( $2095\text{ cm}^{-1}$ ).

На рис. 3 приведены спектры в координатах Тауда  $[(\alpha \hbar \omega)^{1/2} = B(\hbar \omega - E_g^{\text{opt}})]$  для серии образцов  $a\text{-Si}_{1-x}\text{C}_x\text{:H}$  с различным содержанием углерода  $x$ . Как видно из рис. 3, оптическая ширина запрещенной зоны  $E_g^{\text{opt}}$  растет с увеличением  $x$  от 1.75 до 2.4 эВ и эта зависимость может быть представлена в виде  $E_g^{\text{opt}}(x) = E_g^{\text{opt}}(0) + 1.68x$  (рис. 4). Наблюдается хорошее совпадение с результатами работ [20, 21]. Обращает на себя внимание тот факт, что коэффициент пропорциональности  $B$ , характеризующий наклон зависимостей  $(\alpha \hbar \omega)^{1/2} = f(\hbar \omega)$ , при небольших добавках углерода к  $a\text{-Si:H}$  ( $x < 0.1$ ) увеличивается по сравнению со значением  $B$  для  $a\text{-Si:H}$ , а затем при  $x = 0.37$  уменьшается. Этот факт свидетельствует о том, что малые добавки углерода ( $x < 0.1$ ) улучшают интересующие параметры исходного  $a\text{-Si:H}$ .

В общем случае увеличение  $E_g^{\text{opt}}$  может быть связано как с увеличением числа связей Si-C, т.е. эффектом сплавления, так и с увеличением концентрации водорода в пленках. Увеличение содержания  $\text{CH}_4$  в газовой смеси (или содержания углерода  $x$  в пленке) приводит к умень-

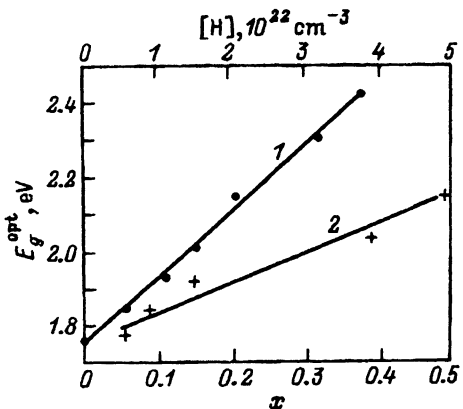


Рис. 4. Зависимость оптической ширины запрещенной зоны  $E_g^{\text{opt}}$  от содержания углерода  $x$  (1) и концентрации водорода  $[H]$  (2) в образцах  $a\text{-Si}_{1-x}\text{C}_x\text{:H}$ .

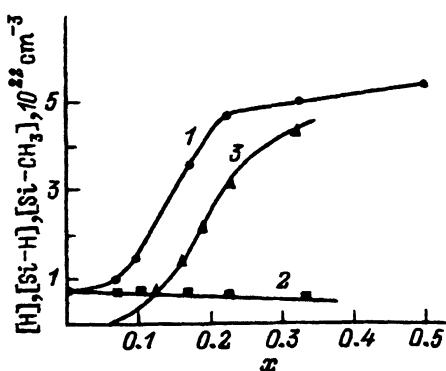


Рис. 5. Зависимость общей концентрации водорода (1) и количества связей Si-H (2) и Si-CH<sub>3</sub> (3) от содержания углерода  $x$ .

шению количества водорода, связанного с атомами кремния (Si-H), и к увеличению количества водорода, входящего в пленки посредством метиловых групп (Si-CH<sub>3</sub>). Несмотря на то что количество последнего возрастает начиная с  $x = 0.2$ , общее содержание водорода, определенное методом протонов отдачи, при этих значениях  $x$  начинает замедлять свой рост, выходя на насыщение (рис. 5). По-видимому, в случае использования бедной (разбавленной аргоном и водородом) смеси увеличение  $E_g^{\text{opt}}$  связано с преимущественным увеличением концентрации связей Si-C, а не с ростом концентрации водорода (рис. 4). Основанием так считать служит увеличение количества встраиваемых в аморфную сетку атомов углерода, которое проявляется в увеличении интенсивности полосы поглощения 670 cm<sup>-1</sup> (мода растяжения связи Si-C), в сдвиге полосы поглощения 2000 к 2095 cm<sup>-1</sup> (мода растяжения связи Si-H) за счет увеличения количества замещений атомов Si атомами C. Таким образом, проведенные исследования показали возможность получения при использовании бедной смеси составов, обладающих широким набором значений оптической ширины запрещенной зоны от 1.75 до 2.4 эВ.

Известно [18], что в сплавах  $a\text{-Si}_{1-x}\text{C}_x\text{:H}$  увеличение  $x$  может приводить к росту дефектности, вызванному композиционным и структурным беспорядком, и, как следствие, к возрастанию плотности локализованных состояний в хвостах разрешенных зон, которые в свою очередь контролируют протекание практически всех неравновесных процессов. В образцах  $a\text{-Si}_{1-x}\text{C}_x\text{:H}$ , полученных в условиях бедной смеси, протяженность хвоста плотности состояний зоны проводимости  $\Delta E_c$  при увеличении  $x$  от 0 до 0.37 изменяется в 1.1 раз по сравнению с  $\Delta E_c$  для  $a\text{-Si:H}$ , о чем свидетельствует поведение коэффициента пропорциональности  $B$  в зависимости Тауда (рис. 6). Он обратно пропорционален произведению  $n\Delta E_c$ , где  $n$  — показатель преломления, а  $\Delta E_c$  — энергетическая протяженность хвоста плотности состояний зоны проводимости [22]. При изменении  $x$  от 0 до 0.37 коэффициент  $B$  увели-

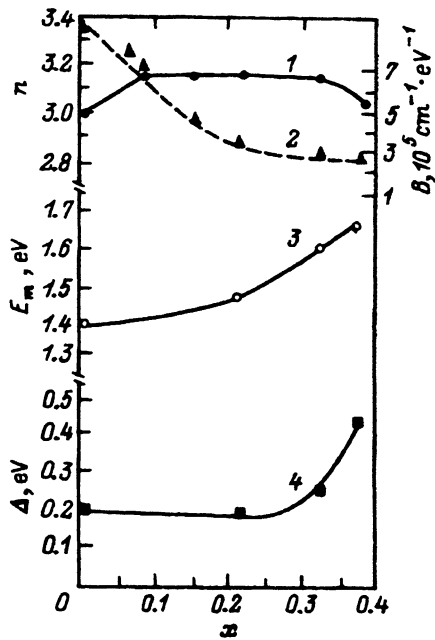


Рис. 6. Зависимость коэффициента  $B$  (1), коэффициента преломления  $n$  (2), положения максимума ФЛ  $E_m$  (3) и ширины линии ФЛ на полувысоте  $\Delta$  (4) от содержания углерода.

чивается от  $5.14 \cdot 10^5$  до  $5.5 \cdot 10^5 \text{ эВ}^{-1} \cdot \text{см}^{-1}$ , в то время как показатель преломления  $n$  уменьшается от 3.34 до 2.8 (рис. 6).

Проведенные исследования фотолюминесценции (ФЛ) свидетельствуют о гомогенности полученных пленок  $a\text{-Si}_{1-x}\text{C}_x\text{:H}$  (наблюдается один симметричный пик ФЛ). При увеличении  $x$  изменяются положение максимума ФЛ и ширина линий на полувысоте (рис. 6): спектры ФЛ сдвигаются в область больших энергий и расширяются. Считается, что наблюдаемые изменения спектров ФЛ при увеличении  $x$  происходят из-за возрастания беспорядка и увеличения плотности дефектов [23, 24]. В нашем случае небольшое изменение ширины спектра ФЛ в слоях с  $x > 0.21$  по сравнению с  $a\text{-Si:H}$  свидетельствует о некотором уширении хвостов плотности состояний.

Изменение состава газовой смеси (и, значит, изменение  $x$ ) приводит к изменению темновой проводимости и интегральной фотопроводимости (рис. 7). Как видно из рис. 7, введение небольших добавок углерода ( $x < 0.1$ ) приводит к улучшению интересующих параметров исходного  $a\text{-Si:H}$ : уменьшению темновой проводимости (увеличению удельного сопротивления  $\rho$  приблизительно на 2 порядка) и увеличению отношения  $\sigma_{ph}/\sigma_d$  до  $10^4$ .

Выше упоминалось о том, что СПЗ в многослойном ЭФС должен обеспечить высокую подвижность носителей тока, которая осуществляет

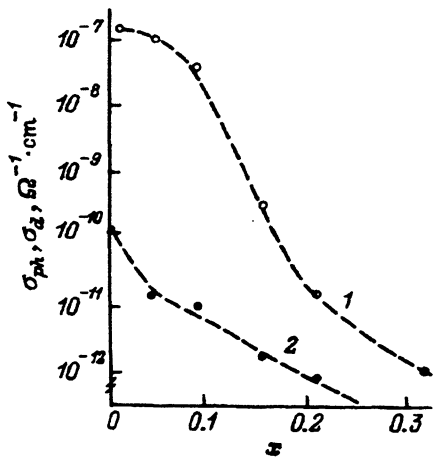


Рис. 7. Зависимость интегральной фотопроводимости (1) и темновой электропроводности (2) пленок  $a\text{-Si}_{1-x}\text{C}_x\text{:H}$  от содержания углерода  $x$ .

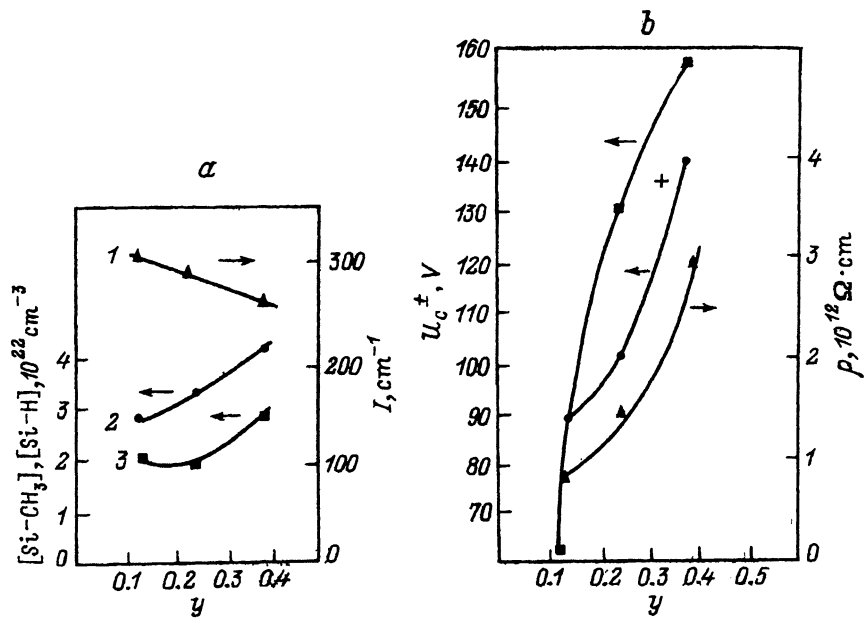


Рис. 8. *a* — зависимость интеграла поглощения, обусловленного модой растяжения связи Si—C (1), концентрации связей Si—CH<sub>3</sub> (2) и Si—H (3) от состава газовой смеси *y*. *b* — зависимость максимальных потенциалов зарядки  $U_c^-$ ,  $U_c^+$  и удельного сопротивления  $\rho$  тестовых пленок *a*-Si<sub>1-x</sub>C<sub>x</sub>:H от состава газовой смеси *y*.

ма при малой плотности состояний в хвостах зон. Исследования показали, что при использовании бедной смеси составы с  $x < 0.21$  отвечают этому требованию и могут быть использованы в качестве СПЗ в ЭФС. Слои *a*-Si<sub>1-x</sub>C<sub>x</sub>:H, используемые в качестве ПС и БС, должны обладать удельным сопротивлением  $\rho \gtrsim 10^{12} \text{ Ом} \cdot \text{см}$ . Для повышения удельного сопротивления слои *a*-Si<sub>1-x</sub>C<sub>x</sub>:H для ПС и БС изготавливались из богатой (неразбавленной водородом) смеси (SiH<sub>4</sub> + CH<sub>4</sub> + Ar). Состав газовой смеси  $y = [\text{CH}_4]/[\text{CH}_4 + \text{SiH}_4]$  изменялся от 0.13 до 0.5, температура подложки составляла  $T_s = 250^\circ\text{C}$ .

Тестовые слои *a*-Si<sub>1-x</sub>C<sub>x</sub>:H, приготовленные указанным способом напылялись как на кремниевые и кварцевые, так и на алюминиевые подложки. Толщины этих слоев составляли 2–5 мкм. На рис. 8, *a* приведены зависимости интегрального поглощения  $I$  в полосе  $670 \text{ cm}^{-1}$ , связанной с модой растяжения связи Si—C, и концентрации связей Si—H и Si—CH<sub>3</sub> в зависимости от состава газовой смеси *y*. Как видно из рис. 8, *a*, увеличение *y* приводит к возрастанию концентрации связей Si—H и Si—CH<sub>3</sub>, т.е. к увеличению концентрации водорода, в то время как интегральное поглощение  $I$  в полосе, связанной с модой растяжения связи Si—C, уменьшается в 1.2 раз. Сопоставление зависимостей удельного сопротивления  $\rho$ , максимальных потенциалов зарядки  $U_c^-$  и  $U_c^+$  тестовых слоев *a*-Si<sub>1-x</sub>C<sub>x</sub>:H и концентрации связей Si—H и Si—CH<sub>3</sub> от состава газовой смеси *y* показывает (рис. 8, *b*), что увеличение удельного сопротивления коррелирует с увеличением концентрации водорода в пленках. Как и в случае *a*-Si:H, повышение удельного сопротивления

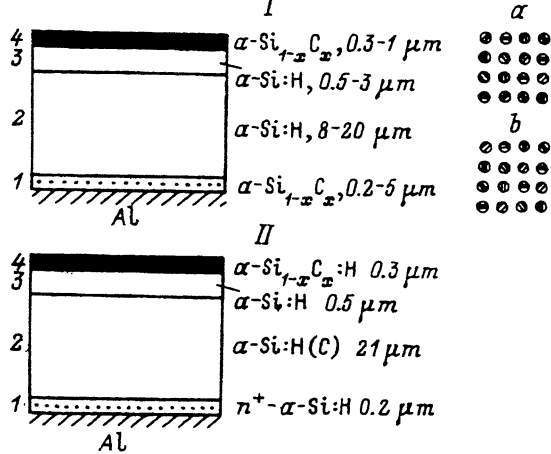


Рис. 9. Схематическое изображение многослойных структур для ЭФС двух типов.  
1 — блокирующий слой,  
2 — слой переноса заряда,  
3 — слой генерации заряда,  
4 — пассивирующий слой.  
*a,b* — электрофотографические оттиски, полученные со структурами *I* соответственно при положительном и отрицательном поверхностном потенциале зарядки при увеличении в 280 раз.

( $\rho > 10^{12}$  Ом·см) достигается за счет увеличения концентрации водорода. Таким образом, полученные при использовании богатой смеси слои  $\alpha\text{-Si}_{1-x}\text{C}_x:\text{H}$  могут быть использованы в качестве ПС и БС.

Итак, в результате проведенного исследования удалось оптимизировать условия получения и установить составы пленок  $\alpha\text{-Si}_{1-x}\text{C}_x:\text{H}$ , пригодные для использования в качестве СПЗ, ПС и БС. Нами получены и исследованы также многослойные ЭФС двух типов (рис. 9). Исследуемые структуры типов *I* и *II* содержат блокирующий слой, слой переноса заряда, слой генерации заряда и пассивирующий слой. Структура типа *I* наносилась на алюминиевые плоские подложки площадью 25 см<sup>2</sup>. В ней использовался широкозонный  $\alpha\text{-Si}_{1-x}\text{C}_x:\text{H}$  ( $E_g^{\text{опт}} = 2.3 - 2.4$  эВ,  $x \approx 0.3$ ) в качестве БС и ПС; СПЗ и СГС служили слои  $\alpha\text{-Si:H}$ , полученные в несколько различных режимах роста. Толщина полученных многослойных ЭФС составляла от 8 до 30 мкм. Такие структуры заряжались отрицательным ( $U_c^-$ ) и положительным ( $U_c^+$ ) поверхностным потенциалом, т.е. осуществлялся биполярный режим записи. Структура типа *I*, толщиной 26 мкм, заряжалась до максимальных поверхностных потенциалов  $U_c^+ = 440$  В и  $U_c^- = 620$  В. Характерные времена полуспада потенциала в темноте  $t_{1/2}^d$  и интегральная фоточувствительность по полуспаду потенциала  $S_{1/2}$  равнялись соответственно  $t_{1/2}^d = 6$  с,  $S_{1/2} = 0.01$  лк<sup>-1</sup> (при положительной зарядке) и  $t_{1/2}^d = 8$  с,  $S_{1/2} = 0.02$  лк<sup>-1</sup> (при отрицательной зарядке). На этих структурах были получены электрофотографические копии с хорошим контрастом как при положительном, так и при отрицательном поверхностном потенциале зарядки. На рис. 9, *a,b* приводятся соответствующие фрагменты и изображения миры, увеличенные в 280 раз. Аналогичного качества изображение было получено при увеличении в 960 раз. Структура типа *II*, толщиной 22 мкм, была нанесена на алюминиевый цилиндр диаметром 30 мм и длиной 260 мм (используемый в стандартном лазерном принтере типа «Laser-Jet»). Нанесение слоев производилось в разработанной нами установке высокочастотного разложения газовых смесей в тлеющем разряде с коаксиальной конфигурацией

реактора. В структуре типа *II* в качестве БС использовался легированный слой  $n^+$ -*a-Si:H* ( $[PH_3] \approx 2.5 \cdot 10^{-2}\%$ ); СПЗ служил слой  $a-Si_{1-x}C_x:H$  ( $x < 0.1$ ,  $E_g^{opt} = 1.9$  эВ); в качестве СГЗ был взят *a-Si:H* и ПС — слой  $a-Si_{1-x}C_x:H$  ( $x \approx 0.4$ ,  $E_g^{opt} = 2.4$  эВ). Такая структура заряжалась отрицательным ( $U_c^- = 600$  В) и положительным ( $U_c^+ = 320$  В) поверхностным потенциалом зарядки, т.е. осуществлялся близарядный режим записи. Напряженность поля зарядки  $E$  равнялась  $2.73 \cdot 10^5$  и  $1.45 \cdot 10^5$  В/см соответственно. Характерные времена полуспада потенциала (при положительной зарядке) в темноте  $t_{1/2}^d$  и при засветке на длине волны инжекционного лазера ( $\lambda = 0.78$  мкм)  $t_{1/2}^{ph}$  равнялись 10 и 4.7 с соответственно. Если принять во внимание диаметр цилиндра 30 мм и скорость вращения 50 мм/с, то оказывается, что наблюдаемые времена полуспада напряжения вполне удовлетворяют требованиям для получения изображения. Была получена запись изображения с помощью такого цилиндра, установленного в стандартный принтер японского производства [10].

В заключение авторы выражают благодарность Е. Мусабекову за исследование спектров ФЛ пленок  $a-Si_{1-x}C_x:H$ .

Работа выполнена при поддержке Министерства обороны США.

### Список литературы

- [1] I. Shimizu. *Semiconductors and Semimetals* (1984) v. 21, part D, p. 55.
- [2] P. Шафферт. *Электрофотография* (М., Мир, 1968) с. 20.
- [3] N. Jamamoto, Y. Nakayama, K. Wakita, M. Nakano, T. Kawama. *Japan. J. Appl. Phys.*, Suppl. **20-1**, 305 (1981).
- [4] K. Wakita, et al. *Photogr. Sci. Eng.*, **26**, 183 (1982).
- [5] J.C. Knights, R.A. Lujan, R.A. Street, D.K. Biegelson. *Appl. Phys. Lett.*, **38**, 331 (1981).
- [6] I. Shimizu, T. Komatsu. *Photogr. Sci. Eng.*, **24**, 251 (1980).
- [7] I. Shimizu, T. Komatsu, K. Saito, E. Inoue. *J. Non-Cryst. Sol.*, **35-36**, 773 (1980).
- [8] Y. Nakayama, S. Akita, K. Wakita, M. Nakano, T. Kawamura. *Electrophotography*, **27**, 41 (1988).
- [9] Н.В. Елькина, Р.А. Каваляускас, В.И. Марафонов, В.В. Жданова, Е.И. Теруков. *Тез. докл. совещ. сем. «Аморфные полупроводники и диэлектрики на основе а-Si»* (Одесса, 1989) с. 48.
- [10] В.Х. Кудоярова, Р.А. Каваляускас, О.И. Коньков, Е.И. Теруков, И.Н. Трапезникова, И.В. Шведков. *Тез. докл. межд. конф. по электрофотографии* (М., 1991) с. 46.
- [11] Л.А. Балагуров, Н.Ю. Карпова, О.Е. Коробов, А.Н. Лупачева, П.Н. Морозкин, Н.Б. Смирнов. *Тез. докл. межд. конф. по электрофотографии* (М., 1991) с. 95.
- [12] Г.С. Гречинин. *Электрофотографический процесс* (М., Наука, 1970) с. 277.
- [13] H. Schanks, C.J. Fang, L. Ley, M. Cardona, F.J. Demond, S. Kalbitzer. *Phys. St. Sol. (b)*, **100**, 43 (1980).
- [14] V.Kh. Kudoyarova, G.M. Gusinsky, L.A. Rassadin, I.V. Kudryavtsev. *Appl. Surf. Sci.*, **50**, 173 (1991).
- [15] H. Weider, M. Cardona, C.R. Guarnieri. *Phys. St. Sol. (b)*, **92**, 99 (1979).
- [16] K. Nakazawa, S. Veda, M. Kumeda, A. Marimoto, T. Scimizu. *Japan. J. Appl. Phys.*, **21**, L176 (1982).
- [17] G.M. Gusinskii, I.V. Kudryavtsev, V.Kh. Kudoyarova, V.O. Naidenov, L.A. Rassadin. *Semicond. Sci. Techn.*, **7**, 881 (1992).
- [18] J. Bullot, M.P. Schmidt. *Phys. St. Sol. (b)*, **143**, 345 (1987).
- [19] G. Lucovsky. *Sol. St. Commun.*, **29**, 571 (1979).

- [20] A. Skumanich, A. Frova, N.M. Amer. Sol. St. Commun., **54**, 597 (1985).
- [21] D. Della Sala, P. Fiorini, A. Frova, A. Gregori, A. Skumanich, N.M. Amer. J. Non-Cryst. Sol., **77/78**, 853 (1985).
- [22] N.F. Mott, E.A. Devis. Phil. Mag., **22**, 903 (1970).
- [23] J.P. Gerault, R. Morauch, G. Constant, Phil. Mag. B, **49**, 11 (1984).
- [24] R. Carius, K. Jahn, W. Sielbert, W. Fuhs. J. Luminesc., **31/32**, 354 (1984).

Редактор Л.В. Шаронова

## Optical and Electrical Properties of $a\text{-Si}_{1-x}\text{C}_x\text{:H}$ Layers That Can Find Application in Electro-Photography

*V.H.Kudoyarova, E.I.Terukov, I.N.Trapeznikova, G.N.Violina, N.V.Elkina,  
and R.A.Kavalauskas*

A.F.Ioffe Physical-Technical Institute of the Russian Academy of Sciences, 194021, St.-Petersburg, Russia

---